



Impact of Iron Ore Mining on the Concentration of some Heavy Metals and Soil Pollution Zoning (Case Study: Sangan Iron Ore Mine, Khaf-Iran)

R. Khashtabeh¹ , M. Akbari^{2*} , A. Heidari³, A. Najafpour⁴

Received: 06-11-2022

Revised: 28-12-2022

Accepted: 09-01-2023

Available Online: 30-04-2023

How to cite this article:

Khashtabe, R., Akbari, M., Heidari, A., & Najafpour, A. (2023). Impact of Iron Ore Mining on the Concentration of some Heavy Metals and Soil Pollution Zoning (Case Study: Sangan Iron Ore Mine, Khaf-Iran). *Journal of Water and Soil* 37(1): 77-94. (In Persian with English abstract)

DOI: [10.22067/jsw.2023.79471.1219](https://doi.org/10.22067/jsw.2023.79471.1219)

Introduction

One of the most fundamental global environmental challenges in the past two decades has been the issue of soil pollution and degradation. Soil, as an important environmental element, has played a significant role in food production, human health, and living organisms, but various factors, by both human and naturally have destroyed it. The exploitation of natural resources with activities such as mining and quarrying, as an anthropogenic action (caused by human activities), is one of the most important factors of human intervention in nature and also one of the environmental hazards of soil degradation, which has caused the spread of desertification. Sangan iron mines in Khaf city are the largest mines in the northeast of Iran. According to the geomorphological disturbances caused by the activity of Khaf iron ore mines and the geological composition of the region, there is a potential for causing pollution and destroying the soil around the mine. This research was conducted with the aim of evaluating the impact of mining activity on concentration of some heavy metals such as lead, iron, nickel, copper, and arsenic in the soil around the iron ore mine in Sangan area of Khaf city in Khorasan Razavi province. Realizing the polluted hotspots due to the concentration of heavy metals, as one of the important signs of soil pollution and the spread of desertification, is one of the goals of this research, and the results can be effective in making appropriate management decisions to prevent soil pollution and further destruction.

Materials and Methods

In order to conduct this research, 60 soil samples were systematically taken from a depth of 0-20 cm from two areas adjacent to the mine and control. The concentration of aqua regia extracted heavy metals was measured using an inductively coupled plasma-optical emission spectroscopy (ICP-OES). In the first stage, the results were descriptive, and in the second part, after performing tests related to the normality of the data, they were inferential using the parametric independent t-test and Pearson's correlation coefficient in the statistical environment of the SPSS software. In order to quantify the level of soil contamination with heavy metals, geochemical indices including contamination factor, pollution load index, and enrichment factor were used. The pollution load zoning map of the area adjacent to the mine as well as the average enrichment map of lead and arsenic elements were prepared using the inverse distance weighting interpolation method in the ArcGIS environment.

Results and Discussion

The results of this research showed that the average concentrations of arsenic, copper, nickel, lead, and iron elements in the area near the mine were 12.71, 25.54, 34.59, 48.64, and 38860 mg/kg and in the control area were

1- Masters Science, Faculty Natural Resources and Environment, Ferdowsi University of Mashhad, Mashhad, Iran

2- Assistant Professor, Department of Desert Areas Management, Faculty of Natural Resources and Environment, Ferdowsi University of Mashhad, Mashhad, Iran

(*- Corresponding Author Email: m_akbari@um.ac.ir)

3- Assistant Professor, Department of Environmental Science, Faculty of Natural Resources and Environment, Ferdowsi University of Mashhad, Mashhad, Iran

4- Professor, Faculty of Health, Mashhad University of Medical Sciences, Iran

8.57, 15.97, 32.13, 16.96, 29110 mg/kg, respectively. The comparison of the coefficient of variation (dispersion criterion) of heavy metals showed that the highest coefficient of variation among the metals is related to the lead with a value of 42.8%, as well as the coefficient of variation for other metals in the area adjacent to the mine also has a relatively high dispersion compared to the control area. In addition, it was found in all elements except for nickel ($p < 0.05$), which indicates a significant difference in the average concentrations between the control area and the area adjacent to the mine. The correlation between lead element and nickel, copper and arsenic variables was inverse and there was a positive and very strong correlation between iron and copper and nickel with values of 0.8 and 0.76 respectively and nickel and copper with values of 0.82. The pollution coefficient of the lead elements in the area adjacent to the mine showed moderate to significant pollution levels, which is more polluted than other elements. The pollution load in the area near the mine showed that the value of this index was greater than one in the samples closer to the mining areas, which indicates the high contamination of the surface soil with these elements. Lead and arsenic elements in the area adjacent to the mine showed moderate to relatively intense enrichment. From the examination of all the pollution indicators used in this research, as well as the positive and very strong correlation between copper and nickel, the presence of these two elements in the soil of the study area showed no pollution. The comparison of the results obtained from the analysis of soil samples in the two areas of the control and adjacent to the mine showed an increase in the concentration of heavy metals (iron, lead, and arsenic, copper) in the area adjacent to the mining.

Conclusion

The results obtained from the analysis of soil samples and pollution indicators in the two control areas adjacent to the Sangan iron ore mine in Khaf city showed that the presence of iron ore industrial and mining sites in the study area and the spread of its wastes and tailings by seasonal and local winds, as well as the activities of humanity and the spread of these pollutants to other areas, can be one of the main reasons for the increase in the concentration of metal pollutants in the soils of this region.

Keywords: Desertification, Human activities, Heavy metals, Soil contamination indicators

تأثیر استخراج سنگ آهن بر غلظت برخی از فلزات سنگین و پهنه‌بندی آلودگی خاک (مطالعه موردی: معدن سنگ آهن سنگان، خواف-ایران)

ریحانه خشتابه^۱ - مرتضی اکبری^{۲*} - آوا حیدری^۳ - علی اصغر نجف پور^۴

تاریخ دریافت: ۱۴۰۱/۰۸/۱۵

تاریخ پذیرش: ۱۴۰۱/۱۰/۱۹

چکیده

این پژوهش با هدف ارزیابی اثرات برخی از فلزات سنگین همچون سرب، آهن، نیکل، مس، آرسنیک و پهنه‌بندی آلودگی خاک ناشی از آنها در مناطق اطراف معدن سنگ آهن سنگان شهرستان خواف در خراسان رضوی انجام شد. جهت انجام این تحقیق، تعداد ۶۰ نمونه خاک از عمق (۰-۲۰) سانتی‌متری به صورت سیستماتیک و از دو منطقه مجاور معدن و شاهد برداشت شد. غلظت فلزات سنگین با استفاده از دستگاه پلاسما جفت شده القایی-آزمون طیف سنجی نشر نوری (ICP-AES) اندازه‌گیری گردید. آزمون نرمال بودن داده‌ها به صورت استنباطی با استفاده از آزمون پارامتریک t مستقل و ضریب همبستگی پیرسون انجام شد. برای کمی نمودن میزان آلودگی خاک به فلزات سنگین، از شاخص‌های ژئوشیمیایی همچون فاکتور آلودگی، شاخص بار آلودگی و فاکتور غنی‌شدگی استفاده گردید. نقشه پهنه‌بندی بار آلودگی منطقه مجاور معدن و همچنین نقشه متوسط غنی‌شدگی عنصر سرب و آرسنیک نیز با استفاده از روش‌های درون‌یابی در محیط ArcGIS تهیه شد. نتایج بدست آمده نشان داد که میانگین غلظت عناصر آرسنیک، مس، نیکل، سرب و آهن در منطقه مجاور معدن به ترتیب ۱۲/۷، ۲۵/۵، ۳۴/۵، ۴۸/۶، ۳۸۸۶۰ میلی‌گرم بر کیلوگرم و در منطقه شاهد به ترتیب ۸/۵، ۱۵/۹، ۳۲/۱، ۱۶/۹، ۲۹۱۱۰ میلی‌گرم بر کیلوگرم بوده است. مقایسه ضریب تغییرات فلزات سنگین نیز نشان داد که بیشترین مقدار این ضریب مربوط به عنصر سرب با ۴۲/۸ درصد و سایر فلزات در منطقه مجاور معدن نیز پراکندگی نسبتاً بالایی را نسبت به منطقه شاهد داشته‌اند. در آزمون t مستقل، مشاهده شد که مقدار سطح معنی‌داری (p-value) در همه عناصر به غیر از عنصر نیکل کمتر از ۰/۰۵ بوده که بیانگر اختلاف معنی‌دار میانگین غلظت‌ها بین منطقه شاهد و منطقه مجاور معدن می‌باشد. بر اساس بررسی‌های صورت گرفته همبستگی بین عنصر سرب با متغیرهای نیکل، مس و آرسنیک از نوع معکوس بوده و همبستگی مثبت و بسیار قوی بین آهن با مس و نیکل به ترتیب با مقدار ۰/۸ و ۰/۷۶ و نیکل با مس با مقدار ۰/۸۲ وجود دارد. ضریب آلودگی عنصر سرب در منطقه مجاور معدن، مقادیر آلودگی متوسط تا قابل توجه را نشان داد که نسبت به سایر عناصر از آلودگی بیشتری برخوردار می‌باشد. عنصر سرب و آرسنیک در منطقه مجاور معدن، غنی‌شدگی متوسط تا نسبتاً شدید را نشان دادند. مقایسه نتایج بدست آمده از آنالیز نمونه‌های خاک در دو منطقه شاهد و مجاور معدن با یکدیگر نشان از افزایش غلظت فلزات سنگین آهن، سرب، آرسنیک و مس در منطقه مجاور معدن کاری بوده است. میانگین غلظت عنصر آرسنیک و آهن احتمال بروز سمیت در آینده را هشدار می‌دهد. حضور دو عنصر مس و نیکل در خاک منطقه تحت تأثیر عوامل طبیعی و زمین‌زاد است. در نتیجه می‌توان به این مهم دست یافت که در صورتی که آلاینده‌های حاصل از معدن‌کاری سنگ آهن در مناطق مجاور معدن کنترل نشود و به دنبال آن روند بیابان‌زایی تکنوژنیک مهار نگردد. علاوه بر بروز مشکلات زیست‌محیطی متعدد تأثیر شگرفی بر بوم‌نظام منطقه خواهد گذاشت.

واژه‌های کلیدی: بیابان‌زایی، شاخص‌های آلودگی خاک، فعالیت‌های انسانی، فلزات سنگین

۱- کارشناسی ارشد، دانشکده منابع طبیعی و محیط‌زیست، دانشگاه فردوسی مشهد، ایران

۲- استادیار، گروه مدیریت مناطق خشک و بیابانی، دانشکده منابع طبیعی و محیط‌زیست دانشگاه فردوسی مشهد، ایران

(*) نویسنده مسئول: (Email: m_akbari@um.ac.ir)

۳- استادیار، گروه محیط‌زیست، دانشکده منابع طبیعی و محیط‌زیست، دانشگاه فردوسی مشهد، ایران

۴- استاد، دانشکده بهداشت، دانشگاه علوم پزشکی مشهد، ایران

مقدمه

هند نشان داد که استخراج سنگ آهن آثاری همچون فرسایش خاک، تخریب زمین، آلودگی آب و خاک را به همراه داشته و باعث گسترش بیابان‌زایی در مناطق اطراف معدن سنگ آهن شده است (Das, 2014). مطالعات انجام شده در ایران نیز نشان داده است که فعالیت‌ها و بهره‌برداری از معادن باعث انتشار عناصری همچون آرسنیک (As)، کادمیم (Cd)، کروم (Cr)، نیکل (Ni)، مس (Cu)، روی (Zn)، آهن (Fe) و سرب (Pb) و آلودگی خاک شده است (Dabiri et al., 2017; Sanjari, 2017; Sistani et al., 2017; Shamsaddin et al., 2020; Hosseinniaee et al., 2021). ایران نیز با توجه به اینکه یک کشور در حال توسعه بوده و برای پیشرفت خود ناچار به توسعه معادن می‌باشد از این قاعده مستثنی نبوده و فعالیت‌های معدن‌کاوی همچون استخراج و فرآوری فلزات در دو سه دهه گذشته زمینه تشدید آلودگی خاک به فلزات سنگین را افزایش داده و موجب گسترش بیابان‌زایی در برخی از استان‌های معدنی کشور شده است (Rezaei-pour Baghdar et al., 2015; Khashtabeh et al., 2020a; Zanganeh et al., 2022; Akbari et al., 2020a). بنابراین، مطالعه و استفاده از روش‌های مختلف جهت ارزیابی اثر غلظت فلزات سنگین در مناطق اطراف معادن، به خصوص سنگ آهن به طور مستمر از مهم‌ترین اقدامات می‌باشد که در نتیجه آن می‌توان میزان آلودگی خاک (Yangmin et al., 2006; Dabiri et al., 2017) را بررسی و از گسترش بیابان‌زایی تکنوژنیک (بیابان‌زایی ناشی از فعالیت‌های انسانی) در اطراف معادن سنگ آهن پیش‌گیری نمود (Akbari et al., 2020b).

برای ارزیابی اثرات غلظت فلزات سنگین ناشی از معادن، محققین مختلفی در سراسر جهان روش‌هایی را توصیه نموده‌اند که از مهم‌ترین آنها می‌توان به شاخص‌های فاکتور آلودگی^۳ (Hakanson, 1980)، شاخص بار آلودگی^۴ (Thomilson et al., 1980)، فاکتور غنی‌شدگی^۵ (Nikolaidis et al., 2010) اشاره نمود. لذا، با توجه به اهمیت معدن سنگ آهن سنگان خواف در شرق کشور و وجود تولید باطله‌های معدنی و دپوی سنگ آهن در محدوده سنگ شکن‌ها و ماشین‌آلات (Saadati, 2016)، و رفت و آمد روزانه حدود ۸۰۰ تریلر و کامیون (Sanjari, 2017)، و همچنین بادهای ۱۲۰ روزه سیستان که موجب جابه‌جایی ذرات شده و به تخریب هر چه بیشتر محیط دامن می‌زند؛ الزام انجام این پژوهش را با هدف ارزیابی اثر غلظت برخی از

یکی از اساسی‌ترین چالش‌های محیط‌زیستی جهان در دو دهه‌ی گذشته تاکنون، مسأله‌ی آلودگی و تخریب خاک بوده است (Sahu and Dash, 2011; Damian et al., 2018). هرچند خاک به عنوان یک عنصر مهم محیطی، نقش بسزایی در تولید مواد غذایی، سلامت انسان‌ها و موجودات زنده داشته، اما عوامل مختلفی چه انسانی و چه طبیعی باعث تخریب آن شده است (Akbari et al., 2016; Feyzi, 2019; Koshki et al., 2019). براساس گزارشات و آمار رسمی منتشر شده توسط سازمان جهانی غذا و کشاورزی^۱ و برنامه محیط‌زیست سازمان ملل^۲ (۲۰۱۸)، بهره‌برداری از منابع طبیعی با فعالیت‌هایی همچون معدنکاری و معدن‌کاوی، به منزله کُنِشی آنتروپوژنیک (ناشی از فعالیت‌های انسانی)، یکی از مهم‌ترین عوامل دخالت بشر در طبیعت و از مخاطرات محیطی تخریب خاک بوده و باعث گسترش بیابان‌زایی شده است (Darwish et al., 2011; Cocheci et al., 2019; Khashtabeh et al., 2020). هرچند معادن به عنوان یک صنعت مادر به لحاظ تولید کانی‌ها و سایر مواد معدنی برای زندگی روزمره انسان‌ها یک امر ضروری می‌باشد (Teplická et al., 2021)، اما استخراج فلزات از معادن آثار تخریبی بسیار گسترده‌ای بر منابع آب، خاک، هوا و موجودات زنده داشته است (Hubert et al., 2019). معدن‌کاری و معدن‌کاوی با عملیاتی همچون تسطیح اراضی، برداشت خاک، حفر گودال و عملیات بهره‌برداری، باعث کاهش کیفیت و بهم ریختگی خاک شده و در نهایت آلودگی خاک را به همراه خواهد داشت (Sahu and Dash, 2011). فلزات سنگین از آلاینده‌های مهم معدنی محیطی هستند که در غلظت‌های خیلی کم نیز سمی می‌باشند. زمانی که غلظت مواد سمی از آستانه مشخصی تجاوز کند، حاصلخیزی یا توان تولید زمین ممکن است به صفر کاهش یابد. مطالعات مختلف نشان می‌دهند که افزایش حجم آلاینده‌ها ناشی از فلزات سنگین، موجب کاهش و یا از بین رفتن میکروارگانیسم‌های خاک، کاهش کربن آلی خاک، از دست دادن تنوع زیستی، از دست دادن باروری خاک و کاهش حاصلخیزی، از بین رفتن پوشش گیاهی، عدم تعادل عنصری، اسیدی شدن، فرسایش و تخریب خاک و در نهایت گسترش بیابان‌زایی می‌گردند (Mbaya, 2013; Rajeshkumar et al., 2018). نتایج ارزیابی‌های محیطی در منطقه سنگ آهنی در چاتیسگر

1- FAO

2- UNEP

3- Contamination Factor

4- Pollution Load Index

5- Enrichment Factor

شکل ۱ موقعیت منطقه مورد مطالعه و موقعیت نمونه‌های خاک برداشت شده را نشان می‌دهد.

روش نمونه‌برداری

در بررسی روند و میزان آلودگی خاک منطقه‌ی مورد مطالعه به فلزات سنگین همچون آر سنیک، مس، آهن، سرب، نیکل، تعداد ۶۰ نمونه خاک سطحی از عمق ۰-۲۰ سانتی‌متری خاک (Xiao *et al.*, 2017) بر اساس یک الگوی مشخص (فاصله و موقعیت نمونه‌ها) و به صورت سیستماتیک برداشت شد. نمونه‌ها از دو مکان شاهد و نمونه و در محدوده‌ای به وسعت ۲۰ کیلومتر مربع، از زمین‌های دست نخورده و فاقد کشت می‌باشند (لازم به توضیح است که از نظر کاربری، خاک این مناطق جزء اراضی مرتعی فقیر و تنک بوده و عموماً مورد استفاده چرای دام در زمان دامداری قرار می‌گیرند). لازم به توضیح است که به دست آوردن نمونه‌ی واقعاً دست نخورده خاک تقریباً غیرممکن است، به همین دلیل استفاده عمومی از اصطلاح دست نخورده به آن معنی است که برای تهیه نمونه دقت شد تا حداقل دست خوردگی در ساختار خاک موجود ایجاد شده باشد. همانطور که اشاره شد نمونه برداری خاک شامل دو بخش؛ - نمونه برداری از خاک‌های مجاور معدن (گروه آزمایش) با متوسط فاصله ۵ کیلومتر از معدن - نمونه برداری از خاک‌های منطقه شاهد (گروه کنترل) با متوسط فاصله ۳۵ کیلومتر از معدن بوده است. به طوریکه تعداد ۳۰ نمونه از منطقه مجاور معدن به وسعت ۱۰ کیلومتر مربع و ۳۰ نمونه نیز از منطقه شاهد به وسعت ۱۰ کیلومتر مربع برداشت گردید (Xiao *et al.*, 2017; Aluko *et al.*, 2018; Tepansyan *et al.*, 2018). مناطق نمونه برداری به گونه‌ای انتخاب شدند که محدوده‌ی منطقه‌ی مورد مطالعه را تا حد زیادی پوشش دهد.

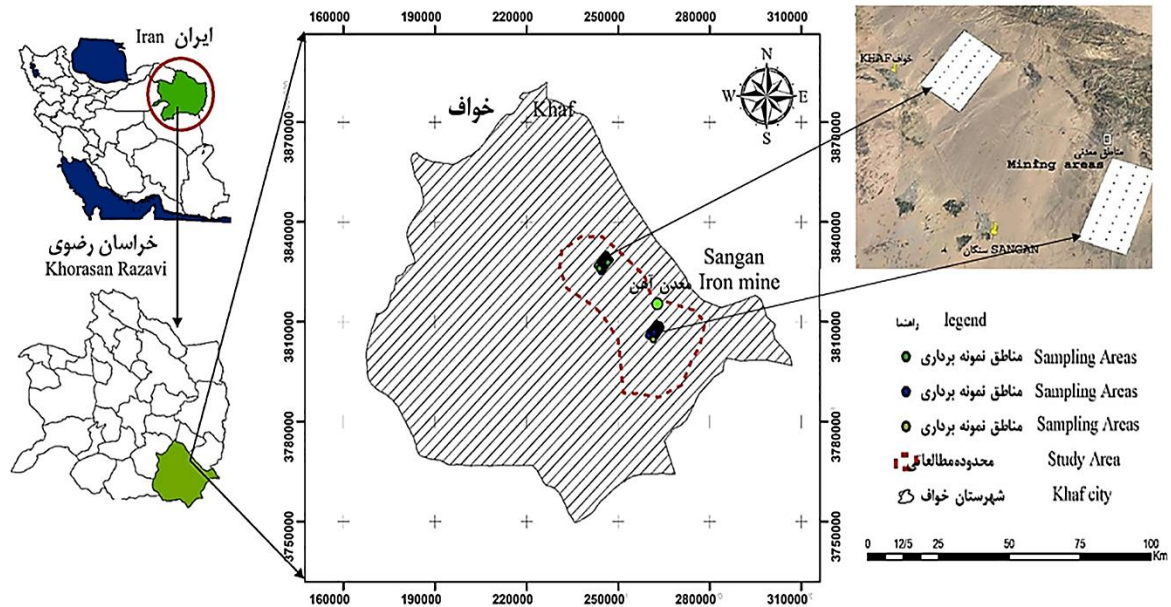
نمونه‌ها با استفاده از بیل و بیلچه برداشت و به مقدار ۱ کیلوگرم در کیسه‌های زیپ پلاست قرار داده شدند. برای هضم و آماده‌سازی نمونه‌ها، از روش تیزاب سلطانی (Aqua regia) استفاده گردید. در این روش میزان ۵ میلی‌لیتر اسید نیتریک غلیظ و ۱۵ میلی‌لیتر هیدروکلریک اسید غلیظ به هر نمونه اضافه و سپس نمونه‌ها به مدت یک شبانه روز در دمای محیط قرار داده شده‌اند. سپس نمونه‌ها در درون بن ماری و در دمای حدود ۹۵-۱۰۵ درجه سانتیگراد حرارت داده شدند تا عملیات هضم، کامل و مایع شفاف حاصل شود. در نهایت در صورت مشاهده رسوب، نمونه‌ها را از کاغذ صافی (واتمن ۴۱) عبور داده و در بالن ژوژه ۵۰ میلی‌لیتری به حجم رسانده شدند (Salman, 2019). برای اندازه‌گیری غلظت فلزات سنگین در نمونه‌های خاک از دستگاه پلاسمای جفت شده القایی ICP-OES^۱ و در محیط آزمایشگاه مرکزی دانشگاه فردوسی مشهد استفاده شد. روش مورد نظر فاکتور غلظت را در نمونه‌ها توسط دستگاه اسپکترومتری نشری پلاسمای جفت شده القایی ارائه می‌کند (Wiel, 2003).

فلزات سنگین بر آلودگی و تخریب خاک، پهنه‌بندی و سنجش آلودگی محیط ناشی از آن فلزات را دو چندان می‌نماید. بطوریکه مهم‌ترین گام در راستای چاره‌اندیشی و نیز پیش‌گیری از گسترش تخریب خاک در اطراف معادن، آگاهی و شناخت از وضعیت آلودگی است. لذا، در این پژوهش، تهیه نقشه‌های پهنه‌بندی آلودگی خاک با استفاده از شاخص‌های اشاره شده فوق و آگاهی از مکان‌های هات‌اسپات^۱ آلوده ناشی از غلظت فلزات سنگین به عنوان یکی از نشانه‌های مهم آلودگی خاک و گسترش بیابان‌زایی، از اهداف این پژوهش بوده و امیداست نتایج بدست آمده بتواند در تصمیم‌گیری‌های مناسب مدیریتی برای جلوگیری از آلودگی و تخریب بیشتر خاک ناشی از عناصر فلزات سنگین معادن سنگ آهن موثر باشد.

مواد و روش‌ها

معرفی منطقه مورد مطالعه

سنگ آهن سنگان شهر ستان خواف با موقعیت جغرافیایی ۲۸° ۲۲' ۶۰" شرقی و ۲۲° ۲۷' ۳۴" شمالی در فاصله ۳۰۰ کیلومتری جنوب شرقی مشهد، ۶۸ کیلومتری جنوب غرب شهر تایباد، ۴۰ کیلومتری جنوب شرقی شهر خواف و ۱۸ کیلومتری شمال شرقی شهرستان سنگان واقع شده است. حداکثر ارتفاع از سطح آب‌های آزاد منطقه ۱۸۱۲ متر است. از جمله مشخصات کانسار سنگ آهن سنگان خواف، دارا بودن عیار ۵۴ درصد (Golmohammadi *et al.*, 2015)، پایین بودن میزان فسفر، گسترش زیاد و حجیم بودن مواد معدنی است (Golmohammadi *et al.*, 2017; Khashtabeh *et al.*, 2021). از مهم‌ترین بادهای محلی آن می‌توان به باد ۱۲۰ روزه سیستان اشاره نمود که در جهتی شمال شرقی به جنوب غربی می‌وزد و به علت عبور از دشت‌های تایباد و خواف و سرعت نسبتاً زیاد، باعث فرسایش خاک و در نتیجه گرد و خاک می‌شود. کانسار سنگ آهن سنگان خواف را جزئی از کمربند آتشفشانی-نفوذی خواف-کاشمر-بردسکن معرفی کردند بخش عمده کانسار آهن سنگان از مگنتیت تشکیل شده است و کانسنگ‌های آهن‌دار هماتیت، لیمونیت و گوتیت در این محدوده دیده می‌شود و کانی‌های سولفوری عمده، شامل پیریت، کالکوپیریت، مارکاسیت و پیروتیت می‌باشد (Mazhari, 2016). منطقه مورد مطالعه بر روی نهشته‌های کواترنری دشت خواف واقع گردیده است و به لحاظ سنگ‌شناسی از تنوع چندانی برخوردار نمی‌باشد (Khashtabeh *et al.*, 2021). طبق آمار منتشره در سالنامه آماری استان خراسان رضوی (۱۳۹۵)، شهر ستان خواف دارای ۳۳۱۸۹ نفر جمعیت می‌باشد که در فعالیت‌های همچون معدن‌کاری مشغول به فعالیت هستند (Khashtabeh *et al.*, 2021).



شکل ۱- موقعیت و الگوی نمونه برداری خاک در منطقه مورد مطالعه
Figure 1- Location and soil sampling patterns in the study area

شده طبق رابطه ۱ بدست آمد (Chen and Liu, 2012).

$$W_i = \frac{D_i^{-a}}{\sum_{i=1}^n D_i^{-a}} \quad \text{رابطه ۱}$$

که در آن W_i وزن نقطه i ام، D_i فاصله نقطه i ام تا نقطه مجهول و a معادل توازن وزن دهی می باشد.

شاخص‌های آلودگی خاک

الف) فاکتور آلودگی^۱: از فاکتور آلودگی برای تعیین مقدار آلودگی خاک استفاده می شود و از تقسیم غلظت عنصر در نمونه برداشت شده به غلظت همان عنصر در نمونه زمینه به دست می آید (Hakanson, 1980).

$$CF = \frac{C_{metal}}{C_{background}} \quad \text{رابطه ۲}$$

در رابطه ۲ C_{metal} غلظت عنصر مورد نظر در نمونه و $C_{background}$ غلظت عنصر مورد نظر در زمینه که معمولاً متوسط غلظت در شیل (مقیاس) جهانی (Turekian and Wedepohl, 1961) یا متوسط غلظت در بخش بالایی پوسته قاره‌ای (Tylor and McLennan, 1995) در نظر گرفته می شود؛ در این مطالعه از متوسط غلظت مقیاس جهانی (Turekian and Wedepohl, 1961) با مقادیر (As=۱۳، Cu=۴۵، Pb=۲۰، Ni=۶۸، Fe=۴۷۲۰۰) میلی گرم بر کیلوگرم استفاده شده است.

تجزیه و تحلیل آماری داده‌ها

در این پژوهش علاوه بر آزمون چولگی و کشیدگی برای بررسی نرمال بودن یا نبودن توزیع داده‌ها از آزمون کولموگروف-اسمیرنوف استفاده شد (Hosseinniaee et al., 2021). تحلیل‌های آماری در محیط نرم افزاری SPSS نسخه ۲۶ انجام گردید. آزمون t مستقل جهت تحلیل تفاوت میانگین غلظت فلزات سنگین در گروه آزمایش (منطقه مجاور معدن) و گروه کنترل (منطقه شاهد) استفاده شد (Dashti amirabad et al., 2012). ضریب همبستگی پیرسون نیز برای بررسی همبستگی خطی بین متغیرهای مختلف در گروه آزمایش به کار برده شد (Haghparsat and Torshizian, 2019; Rastmanesh et al., 2010).

تهیه نقشه‌های پهنه‌بندی آلودگی خاک

نقشه پهنه‌بندی آلودگی خاک با استفاده از شاخص‌های معرفی شده در این پژوهش و در محیط سیستم اطلاعات جغرافیایی ArcGIS 10.6 و با روش‌های آنالیز مکانی زمین آمار انجام گرفت. در این مطالعه برای تهیه نقشه پراکنش سطحی فلزات سنگین و طبق مقادیر بدست آمده برای هر نمونه خاک، از روش درون‌یابی IDW استفاده شد (Xiao et al., 2016; Akbari et al., 2020). وزن محاسبه شده برای هر نقطه در روش IDW وابسته به توان اعمال

جدول ۱- رده بندی مقادیر فاکتور آلودگی خاک (Hakanson, 1980)

Table 1- Classification of soil Contamination factor values (Hakanson, 1980)

مقدار Value	CF < 1	1 ≤ CF < 3	3 ≤ CF < 6	CF ≥ 6
سطح CF level CF	آلودگی پایین Low contamination	آلودگی متوسط Moderate contamination	آلودگی قابل توجه (نسبتاً شدید) Considerable contamination (relatively intense)	آلودگی بسیار بالا Very high contamination
کد Code	A	B	C	D

$$EF = \left[\frac{C_x(\text{sample})}{C_{ref}(\text{sample})} \right] / \left[\frac{B_n(\text{background})}{B_{ref}(\text{background})} \right]$$
 رابطه ۴

در رابطه فوق، EF فاکتور غنی‌شدگی، C_x غلظت فلز مورد نظر در نمونه (خاک)، C_{ref} غلظت فلز مرجع (Fe) در نمونه، B_n غلظت همان فلز در یک محیط مبنا (پوسته زمین) و B_{ref} غلظت فلز مرجع در محیط مبنا (پوسته زمین) است (Tylor, 1964). عنصر مرجع عنصری است که تغییرات اندکی در محیط داشته و غلظت آن در محیط متأثر از فعالیت‌های انسان نباشد (عنصری که منشأ کاملاً زمین‌شناسی داشته باشد). در این مطالعه آهن با مقدار ۴۱۰۰۰ میلی‌گرم بر کیلوگرم، به عنوان عنصر مرجع (Nikolaidis et al., 2010) و آرسنیک با ۱/۸، مس با مقدار ۵۵، سرب با مقدار ۱۳ و نیکل با مقدار ۵۰ میلی‌گرم بر کیلوگرم در محیط مبنا (پوسته) در نظر گرفته شده است. بر اساس نظر ژانگ و همکاران در سال ۲۰۰۷ (Zhang et al., 2007) زمانی که مقدار EF بین ۰/۵ و ۱/۵ است، فلزات کمیاب به طور کامل منشأ پوسته‌ای دارند و زمانی که مقدار EF بیشتر از ۱/۵ است، بخش فراوانی از عناصر توسط منابع دیگر تأمین شده‌اند (انسان‌زاد). در جدول ۲ رده‌بندی در جه آلودگی (Sutherland, 2000) بر مبنای فاکتور غنی‌شدگی آورده شده است.

نتایج و بحث

تو صیف آماری داده‌ها اولین قدم در راستای سامان‌دهی داده‌ها و اطلاع از وضعیت توزیع آن‌ها است. نتایج بدست آمده در جدول‌های ۳ و ۴ مهم‌ترین ویژگی‌های آماری داده‌های اولیه عناصر سنگین آرسنیک، مس، نیکل، سرب، آهن خاک‌های مورد بررسی در این پژوهش را نشان داد.

ها کاز سون (Hakanson, 1980) فاکتور آلودگی را در ۴ رده بیان نموده که در جدول ۱ رده‌بندی مقادیر فاکتور آلودگی نشان داده شده است. طبق روش ها کانسون، درجات آلودگی از کم تا زیاد و به صورت کدهای A تا D کدگذاری و مشخص می‌شوند.

(ب) شاخص بار آلودگی^۱: این شاخص برای ارزیابی کل درجه آلودگی در خاک استفاده می‌شود. مزیتی که شاخص بار آلودگی نسبت به شاخص‌های دیگر دارد، این است که در این شاخص ریسک آلودگی به همه فلزات، در منطقه مشخص می‌شود و این شاخص راه آسانی برای اثبات تخریب خاک در اثر انباشت فلزات سنگین است (et al., 2018). با استفاده از این شاخص می‌توان بار آلودگی کل فلزات را در منطقه ارزیابی نمود. زیرا یک شاخص آلودگی تجمعی است که از شاخص منفرد CF بدست می‌آید. در واقع با استفاده از این شاخص می‌توان به میزان تخریب خاک ناشی از آلودگی فلزات سنگین در منطقه دست یافت. شاخص بار آلودگی برای یک سایت ویژه توسط روشی که تامیلسون در سال ۱۹۸۰ (Thomilson et al., 1980) ارائه داده است، ارزیابی می‌شود. این پارامتر با رابطه ۳ بیان می‌شود:

رابطه ۳

$$PLI = \sqrt[n]{Cf1 \times Cf2 \times \dots \times Cfn}$$

در رابطه فوق، n تعداد فلزات است که در این مطالعه ۵ نوع فلز بررسی شده است و CF نیز فاکتور آلودگی می‌باشد. مزیتی که این شاخص نسبت به سایر شاخص‌های آلودگی دارد این است که در آن ریسک آلودگی به همه فلزاتی که در منطقه مورد مطالعه قرار می‌گیرد، مشخص می‌شود. PLI یک شاخص انتگرالی مهم در بررسی میزان آلودگی منطقه است که هر چه از عدد یک بالاتر باشد، مراتب آلوده بودن به فلزات در منطقه غیرآلوده را نشان می‌دهد. اگر $PLI \geq 1$ باشد بیانگر آلودگی و اگر $PLI < 1$ بیانگر غیرآلوده بودن خواهد بود (Jorfi et al., 2017).

(ج) فاکتور غنی‌شدگی^۲: این فاکتور روش مناسبی جهت تعیین منشأ طبیعی و انسان‌زاد آلودگی است و از رابطه ۴ طبق روش زیر محاسبه می‌شود (Nikolaidis et al., 2010).

جدول ۲- رده بندی درجه آلودگی بر مبنای فاکتور غنی شدگی (Sutherland, 2000)

Table 2- Classification of the degree of pollution based on the values of the enrichment factor (Sutherland, 2000)

مقدار	EF < 1	1 ≤ EF < 3	3 ≤ EF < 5	5 ≤ EF < 10	10 ≤ EF < 25	25 ≤ EF < 50
رده بندی مقدار آلودگی	بدون غنی شدگی	غنی شدگی اندک	غنی شدگی متوسط	غنی شدگی قابل ملاحظه (نسبتاً شدید)	غنی شدگی شدید	غنی شدگی بسیار شدید
Classification of the amount of pollution	No enrichment	Low enrichment	Moderate enrichment	Significant enrichment (relatively intense)	Very high enrichment	Extremely high enrichment
کد	A	B	C	D	E	F

جدول ۳- آمار توصیفی غلظت فلزات سنگین در نمونه های خاک مجاور معدن

Table 3- Descriptive statistics of heavy metal concentration in the soil samples of the adjacent area's mine

عنصر	حداقل	حداکثر	میانگین	میانه	انحراف معیار	ضریب تغییرات (درصد)	دامنه تغییرات	چولگی	کشیدگی
Element	Minimum (mg kg ⁻¹)	Maximum (mg kg ⁻¹)	Mean (mg kg ⁻¹)	Median (mg kg ⁻¹)	Standard Deviation (mg kg ⁻¹)	Coefficient of variation (%)	Variation range (mg kg ⁻¹)	Skewness	Kurtosis
آرسنیک As	9.4	18.9	12.7	12.1	2.4	19.2%	9.5	0.9	0.2
مس Cu	18.3	46.4	25.5	23.05	6.4	25.1%	28.05	1.5	2.5
نیکل Ni	19.1	49.3	34.5	35.9	9.2	26.8%	30.2	0.19	1.1
سرب Pb	21.9	95.7	48.6	47.7	20.8	42.8%	73.8	0.50	0.5
آهن Fe	29200	62400	38860	37000	7430.02	19.1%	33200	1.6	3.1

جدول ۴- آمار توصیفی غلظت فلزات سنگین در نمونه های خاک منطقه شاهد

Table 4- Descriptive statistics of heavy metal concentration in the soil samples of witness area

عنصر	حداقل	حداکثر	میانگین	میانه	انحراف معیار	ضریب تغییرات (درصد)	دامنه تغییرات	چولگی	کشیدگی
Element	Minimum (mg kg ⁻¹)	Maximum (mg kg ⁻¹)	Mean (mg kg ⁻¹)	Median (mg kg ⁻¹)	Standard Deviation (mg kg ⁻¹)	Coefficient of variation (%)	mg kg ⁻¹ Variation range (mg kg ⁻¹)	Skewness	Kurtosis
آرسنیک As	7.6	9.9	8.5	8.4	0.60	7%	2.2	0.4	-0.7
مس Cu	11.05	21.3	15.9	16.04	2.8	17%	10.2	0.2	-0.8
نیکل Ni	17.5	40.7	32.1	32.8	5.8	18%	23.2	-0.50	-0.40
سرب Pb	13.1	24.5	16.9	16.5	2.4	14.6%	11.3	1.6	3.87
آهن Fe	24400	37200	29110	28500	3210.04	11%	12800	0.8	0.5

میانگین غلظت عناصر به ترتیب ۸/۵، ۱۵/۹، ۳۲/۱، ۱۶/۹، ۲۹۱۱۰ میلی گرم بر کیلوگرم شد. بیشترین مقدار میانگین فلز در منطقه مجاور معدن، برای آهن ۳۸۸۶۰ میلی گرم بر کیلوگرم و کمترین آن برای

براساس نتایج در جدول ۳ میانگین غلظت عناصر آرسنیک، مس، نیکل، سرب و آهن به ترتیب ۱۲/۷، ۲۵/۵، ۳۴/۵، ۴۸/۶، ۳۸۸۶۰ میلی گرم بر کیلوگرم بدست آمد و همچنین در منطقه شاهد (جدول ۴)

سطح معنی‌داری عنصر آرسنیک، مس و آهن در گروه آزمایش کوچکتر از p-value با مقدار ۰/۰۵ است که نشان از نرمال نبودن توزیع داده‌ها در این عناصر است و همچنین در گروه کنترل عنصر سرب با سطح معنی‌داری ۰/۰۴۶ نرمال نمی‌باشد زیرا از p-value مقدار ۰/۰۵ کوچکتر است (شرایط عدم نرمالیتی در گروه آزمایش بیشتر از گروه کنترل است). پس از شناسایی داده‌های غیر نرمال باید آن‌ها را از مجموعه اطلاعاتی که برای پردازش لازم است، خارج کرد و محاسبات آماری و تحلیل‌ها را انجام داد (Aggarwal, 2017). نتایج آزمون کولموگروف-اسمیرنوف بعد از حذف داده‌های غیر نرمال برای تست نرمالیتی داده‌ها به تفکیک دو گروه بررسی شد. در همه متغیرها و در هر دو گروه شرایط نرمالیتی برقرار شد (میزان سطح معنی‌داری عددی بزرگتر از ۰/۰۵ شد). بنابراین آزمون پارامتریک t دو نمونه مستقل استفاده شد. جدول ۵ نتایج آزمون t دو نمونه مستقل را نشان می‌دهد.

اگر سطح معنی‌داری کمتر از ۰/۰۵ باشد یعنی اختلاف معنی‌داری بین غلظت عناصر سنگین در دو منطقه ذکر شده وجود دارد. با توجه به نتایج بدست آمده در جدول ۵ مشخص شد که در همه متغیرها به جز نیکل اختلاف بین میانگین دو گروه معنی‌دار است و در همه متغیرها میانگین گروه آزمایش بالاتر از گروه کنترل قرار دارد؛ که حاکی از افزایش غلظت عناصر سنگین در منطقه تحت تأثیر معدنکاری است. در مطالعه دشتی امیرآباد و همکاران (Dashti Amirabad et al., 2012) که بر روی اثر باطله‌های سولفیدی در بیابان‌زایی اطراف معادن صورت گرفت نشان داد که نمونه‌های خاک در منطقه مجاور معدن به عناصر سرب و آرسنیک آلوده هستند. برای مقایسه مناطق شاهد و آلوده از آزمون t استفاده کرد و همچنین یافته‌های او نشان داد که میزان تاج پوشش گیاهی در منطقه تحت اثر آلودگی‌های ناشی از اکسیداسیون باطله‌های سولفیدی معدن حدود ۱۷ درصد کمتر از منطقه شاهد می‌باشد که نشان دهنده تخریب خاک و کاهش پتانسیل زمین است. در نتیجه می‌توان گفت انتشار ضایعات و باطله‌های حاصل از معدنکاری از جمله دلایل اصلی افزایش غلظت آلاینده‌های فلزی در خاک‌های مناطق مجاور معدن است که باعث تخریب خاک و در نهایت موجب پدیده بیابان‌زایی تکنوژنیک شده است.

همبستگی بین غلظت فلزات سنگین بر اساس ضریب همبستگی پیرسون مورد بررسی قرار گرفت. همبستگی بالا بین غلظت فلزات سنگین خاک می‌تواند بیانگر آن باشد که احتمالاً منبع این فلزات یکسان بوده و عناصری که دارای همبستگی کمی باشند رفتار ژئوشیمی متفاوتی نسبت به عناصر دیگر از خود نشان می‌دهند (Sharma and Raju, 2013; Shamsadin et al., 2015; Haghparast and Torshizian, 2019).

آرسنیک با مقدار ۱۲/۷۱ میلی‌گرم بر کیلوگرم بدست آمد. در منطقه شاهد بیشترین میانگین متعلق به عنصر آهن با مقدار ۲۹۱۱۰ و کمترین عنصر آرسنیک با مقدار ۸/۵۷ می‌باشد. مقدار متوسط غلظت عناصر مورد مطالعه در نمونه‌ها با میانگین غلظت آنها در شیل (مقیاس) جهانی که قبلاً به آن اشاره شده است، مقایسه شد. عنصر سرب در منطقه مجاور معدن با مقدار متوسط ۴۸/۶ میلی‌گرم بر کیلوگرم بالاتر از حداکثر استاندارد خاکهای جهان یا شیل جهانی (Turekian and Wedepohl, 1961) با مقدار ۲۰ میلی‌گرم بر کیلوگرم می‌باشد و عنصر آرسنیک با مقدار ۱۲/۷ میلی‌گرم بر کیلوگرم در آستانه حداکثر استاندارد جهانی خاک با مقدار ۱۳ در منطقه مجاور معدن قرار دارد، مقدار غلظت سایر عناصر در منطقه مجاور معدن و منطقه شاهد پایین‌تر از حداکثر استاندارد خاک‌های جهان (شیل جهانی) است. طبق نتایج بدست آمده جدول‌های ۳ و ۴ میانگین غلظت فلزات سنگین در نمونه‌های خاک منطقه مجاور معدن را می‌توان به ترتیب به صورت $\text{آرسنیک} > \text{مس} > \text{نیکل} > \text{سرب} > \text{آهن}$ نشان داد و میانگین غلظت فلزات سنگین در نمونه‌های خاک منطقه شاهد نیز از این روند پیروی می‌کند. از آنجایی که معدن مورد مطالعه از نوع سنگ آهن بود، این نتیجه که غلظت عنصر آهن در هر دو منطقه شدت داشته باشد قابل پیش‌بینی بود. یانگمین و همکاران (Yangmin et al., 2006) گزارش دادند ضریب تغییرات فلزات سنگین که تحت عوامل طبیعی کنترل می‌شوند، تقریباً کم و بیانگر محدود بودن عوامل دخیل در تغییرات آنها است؛ در حالی که برای فلزات سنگین متأثر از منابع انسانی، این ضریب زیاد است. مقایسه ضریب تغییرات (معیار پراکندگی) فلزات سنگین نشان داد که بیشترین ضریب تغییرات در بین فلزات متعلق به عنصر سرب در منطقه مجاور معدن با مقدار ۴۲/۸ درصد و کمترین متعلق به عنصر آرسنیک در منطقه شاهد با مقدار ۷ درصد می‌باشد. همچنین میزان ضریب تغییرات برای سایر فلزات در منطقه مجاور معدن نیز پراکندگی نسبتاً بالایی را نشان می‌دهد که می‌توان آن را تحت تأثیر عوامل خارجی، نظیر فعالیت‌های صنعتی منطقه (معدنکاری) دانست. همانند نتایج بدست آمده از این تحقیق در مطالعات زیادی از افزایش ضریب تغییرات فلزات سنگین، برای نشان دادن عوامل متأثر از منابع انسانی به ویژه فعالیت‌های معدنکاری معرفی شده است (Ravankhah et al., 2015; Shamsadin et al., 2015). یانگ و همکاران (Yang et al., 2009) مشاهده کردند که افزایش غلظت بالای فلز سرب در منطقه مجاور معدن تحت تأثیر فعالیت‌های انسانی قرار دارد. بررسی نرمال بودن داده‌ها با استفاده از آزمون کولموگروف اسمیرنوف برای کلیه متغیرهای مورد مطالعه نشان داد که

جدول ۵- آزمون t برای تعیین معنی دار بودن اختلاف غلظت میانگین عناصر سنگین در مناطق مجاور معدن (گروه آزمایش) و منطقه شاهد (گروه کنترل)

Table 5- t-test to determine the significance of the difference in the average concentration of heavy metals in the adjacent (experiment group) and witness (control group) areas

گروه Group	عناصر Elements	آزمون T مستقل Independent samples T-test						
		T	درجه آزادی Df	معنی داری Significant	میانگین تفاوت Mean difference	تفاوت خطای استاندارد Std.Error Difference	اختلاف فاصله اطمینان ۹۵٪ Confidence interval difference at the 95% level	
						پایین Lower	بالا Upper	
آزمایش و کنترل Experiment and control	آرسنیک As	9.512	31.548	*0.000	3.754	3947	2.949	4.558
	مس Cu	8.633	54	*0.000	7.596	87996	5.832	9.361
	نیکل Ni	1.231	58	0.223	2.459	1.997	-1.540	6.458
	سرب Pb	8.367	29.579	*0.000	31.938	3.817	24.137	39.73
	آهن Fe	7.781	55	*0.000	7778.88	999.667	5775.492	9782.28

در این مطالعه همبستگی بین سرب با متغیرهای نیکل، مس و آرسنیک از نوع معکوس است بدین معنی که با افزایش سرب کاهش در سایر متغیرها مشاهده می‌شود و نشان از منبع متفاوت آنها می‌باشد. از طرفی با توجه به اینکه حضور سرب در باطله‌های معدن سنگان خواف ثبت شده است (Saadati, 2016; Sanjari, 2017) لذا این عنصر آلودگی در محیط از خود نشان می‌دهد که می‌توان آن را تحت تأثیر عوامل خارجی (فعالیت‌های معدنکاری) دانست. ضریب تغییرات بالا برای سرب نیز مؤید این نتیجه‌گیری است. مقادیر ضریب همبستگی پیرسون بین عناصر سنگین در منطقه مجاور معدن (گروه آزمایش) نشان داده شده است (جدول ۶).

بررسی شاخص‌های آلودگی خاک

با استفاده از فاکتور آلودگی در میان نمونه‌های معدنی، عنصر مس و نیکل فاقد آلودگی (کد A) و یا آلودگی پایین (کد B) بوده و عنصر آرسنیک و آهن دارای آلودگی پایین تا متوسط و عنصر سرب آلودگی متوسط تا قابل توجه (کد C) را نشان دادند. در منطقه شاهد، به غیر از دو نمونه با آلودگی متوسط (کد B) در عنصر سرب، سایر عناصر فاقد آلودگی را نشان می‌دهد. در شکل ۲، متوسط فاکتور آلودگی برای عناصر آرسنیک، مس، نیکل، سرب و آهن ترسیم شد. در شکل زیر متوسط فاکتور آلودگی برای عناصر سرب با میانگین ۲/۵ و آهن ۱/۲ در منطقه مجاور معدن دارای آلودگی می‌باشد و عنصر آرسنیک نیز با مقدار ۰/۹۸ با نزدیک شدن بروی خط شاخص، بیانگر خطر آلودگی در منطقه مجاور معدن است.

نتایج آزمون ضریب همبستگی پیرسون برای بررسی همبستگی خطی بین متغیرهای مختلف در گروه آزمایش، ۷ همبستگی معنی دار را نشان داد. به طوریکه همبستگی معنی دار و مثبتی بین آرسنیک و مس وجود دارد که نشان از منشأ مشترک در ورود عناصر فوق به خاک است. علاوه بر آن مشخص شد که همبستگی مثبت و بسیار قوی بین آهن با مس و نیکل به ترتیب با مقدار ضریب همبستگی ۰/۸ و ۰/۷۶ است که به خاطر خصوصیات شیمیایی و منشأ مشترک بین این سه عنصر می‌باشد. آهن از نظر شیمیایی بسیار فعال و رفتار شیمیایی آن مشابه دیگر فلزات می‌باشد (Garavand et al., 2012) و شرایط طبیعی و زمین‌زاد در منطقه می‌تواند هم منشأ بودن این عناصر را در نمونه‌های خاک و رسوب اطراف معدن توجیه نماید (مواد مادی). این همبستگی بالا بین عناصر ذکر شده نشان داد که در اکثر مواقع می‌توان از غلظت مشاهده شده یک عنصر حضور و میزان غلظت دیگر عناصر را نیز با دقت بالایی تخمین زد. مطالعه خاک‌های جنوب شرقی چین نشان داد که بین آهن، مس و نیکل همبستگی بالایی وجود دارد (Wang and Wu, 2008). همبستگی مثبت و قوی بین نیکل با مس با مقدار ۰/۸۲ وجود دارد که با مطالعه سعادت (Saadati, 2016) در بررسی غلظت فلزات سنگین در خاک اطراف معدن سنگان خواف کاملاً مطابقت دارد. مقدار ضریب تغییرات عنصر نیکل و مس را می‌توان دلیلی بر غالب بودن تأثیر منبع زمین شناسی در تعیین پراکنش این عناصر در منطقه دانست. بین آرسنیک با آهن و نیکل همبستگی معنی داری وجود نداشت. نتایج راسمنش و همکاران (Rastmanesh et al., 2010) در منطقه مس سرچشمه کرمان همبستگی ضعیف آرسنیک با دیگر عناصر را نشان داده است.

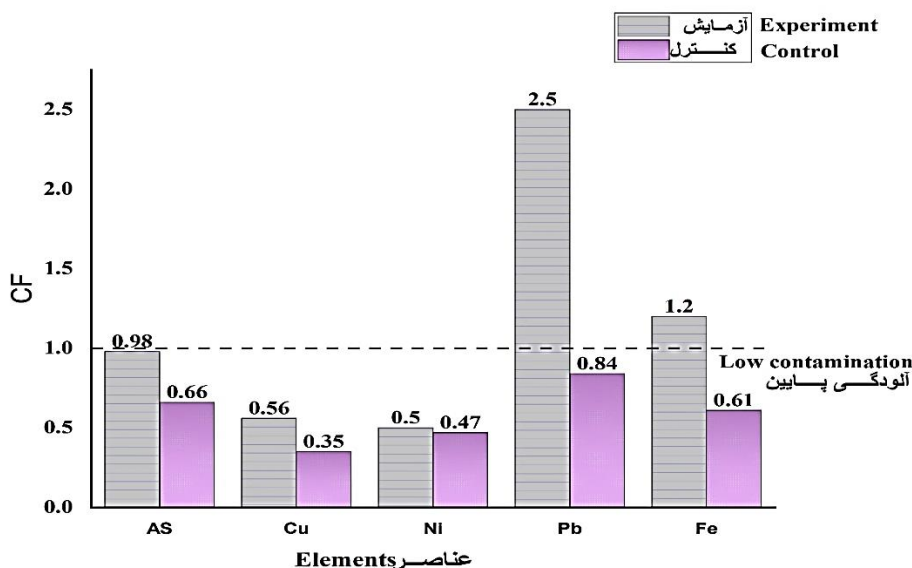
جدول ۶- ضریب همبستگی خطی بین متغیرهای در گروه آزمایش

Table 6- Linear correlation coefficient between variables in the experiment group

	آرسنیک As	مس Cu	نیکل Ni	سرب Pb	آهن Fe
آرسنیک As	1				
مس Cu	0.428*	1*			
نیکل Ni	0.254	0.825*	1		
سرب Pb	-0.475*	-0.512**	-0.409*	1	
آهن Fe	0.315	0.800**	0.764**	-0.296	1

*Correlation is significant at the 0.05 level. معنادار است. ۰/۰۵

**Correlation is significant at the 0.05 level. معنادار است. ۰/۰۱



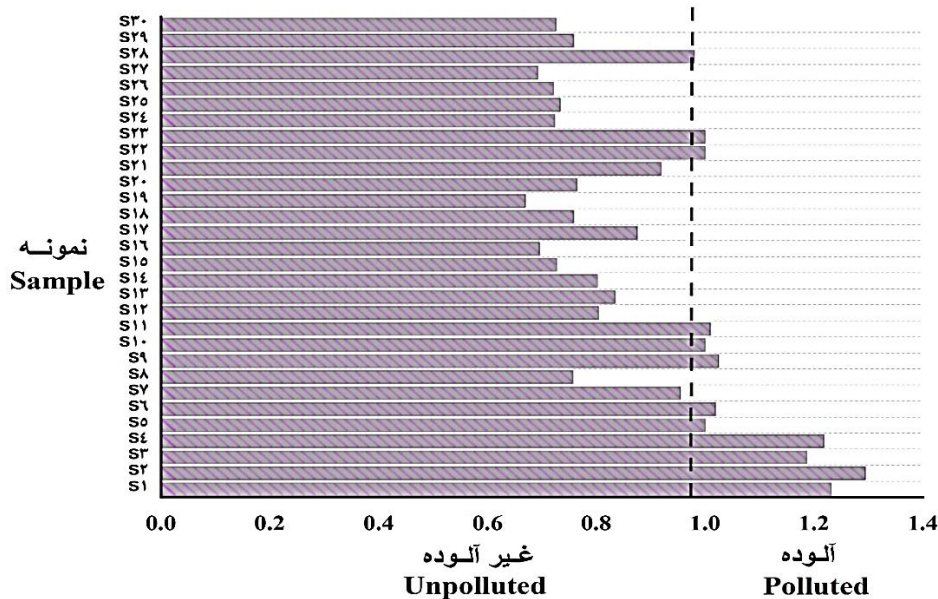
شکل ۲- متوسط فاکتور آلودگی در مناطق مجاور (گروه آزمایش) و شاهد (گروه کنترل)

Figure 2- The Average Contamination factor in the soil samples of the adjacent (experiment group) and witness (control group) areas

مجاور معدن را نشان می‌دهد. نمونه‌ها با مقادیر ۱ حاکی از آلودگی می‌باشند (Adomako et al., 2008). در منطقه مجاور معدن نمونه‌هایی که مسافت کمتری به مناطق معدنی دارند بار آلودگی را نشان می‌دهند. نتایج حاصل از مقدار شاخص بار آلودگی در مطالعه سعادت (Saadati, 2016) نشان داد که بار آلودگی اغلب نمونه‌ها مقادیر بالاتر از یک است همچنین نقشه پهنه‌بندی بار آلودگی حاکی از آلودگی خاک در اطراف معدن سنگان می‌باشد.

مطالعات انجام شده توسط سیهستانی و همکاران (Sistani et al., 2017) در اطراف مجتمع فولاد کرمان عنصر سرب را دارای آلودگی متوسط تا قابل توجه گزارش دادند، همچنین در مطالعه‌ای که توسط سعادت (Saadati, 2016) انجام شد فاکتور آلودگی محاسبه شده نشان داد که خاک اطراف معدن سنگان خواف در نتیجه فعالیت‌های معدنکاری آلوده به آرسنیک (آلودگی قابل توجه) و آهن (آلودگی متوسط) بوده است.

شکل ۳ نمودار شاخص بار آلودگی متعلق به نمونه‌های منطقه



شکل ۳- نمودار PLI محاسبه شده برای نمونه‌های مناطق مجاور معدن
Figure 3- Calculated PLI diagram for the samples of the adjacent area's mine

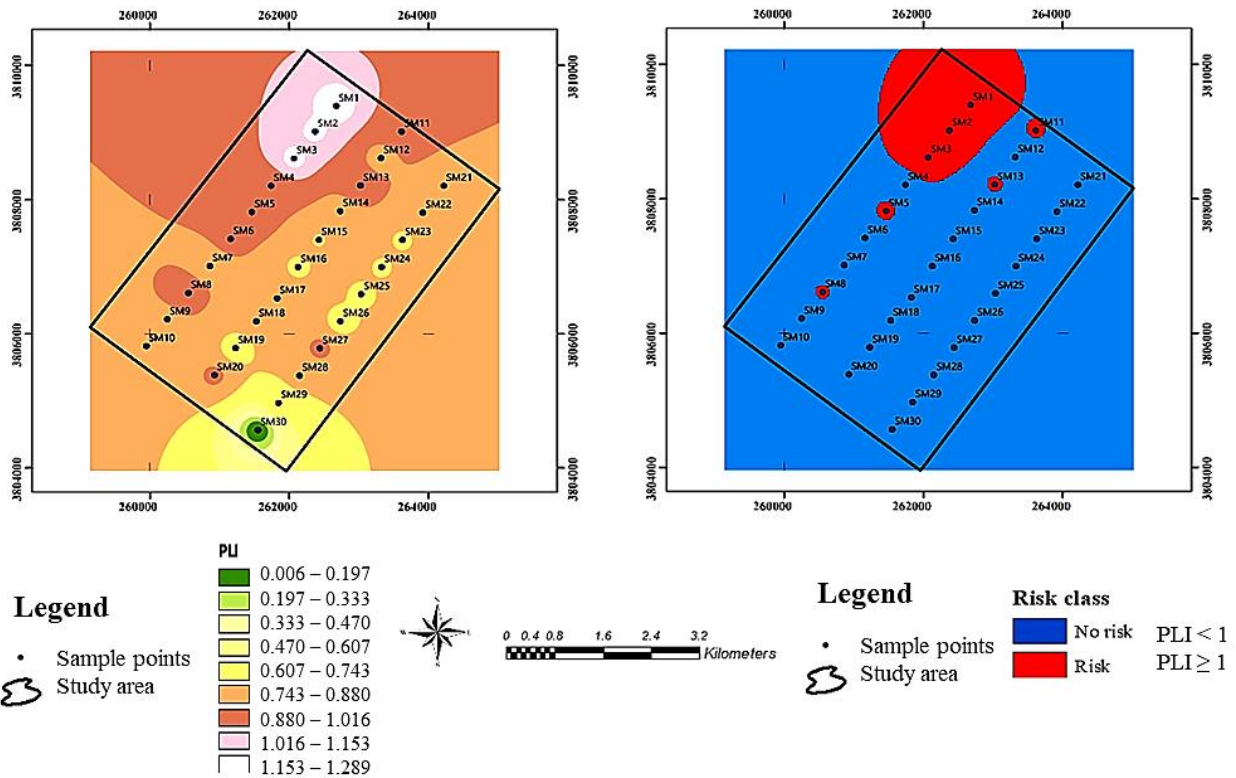
معدن غنی‌شدگی متوسط (کد B) تا قابل ملاحظه (کد C) و نسبتاً شدید (کد D) را نشان داده است و عنصر آرسنیک غنی‌شدگی قابل ملاحظه (کد C) و نسبتاً شدید (کد D) داشته است. در منطقه شاهد همه عناصر به غیر از آرسنیک که غنی‌شدگی حداقل تا متوسط را نشان دادند. سایر عناصر دیگر دارای غنی‌شدگی حداقل (کد A) هستند این بدین معنا است که در منطقه شاهد غلظت تمام عناصر منشأ در لیتوژنیک منطقه دارد. در شکل ۵ متوسط غنی‌شدگی عناصر در منطقه مجاور معدن و شاهد نشان داده شده است. نتایج نشان داد که نیکل و مس در رده غنی‌شدگی حداقل است و عنصر سرب دارای غنی‌شدگی حداقل در منطقه شاهد و غنی‌شدگی متوسط و قابل توجه در منطقه مجاور معدن می‌باشد. به دلیل این که عنصر آهن به عنوان عنصر مرجع انتخاب شد، بنابراین محاسبه ضریب غنی‌شدگی برای عنصر آهن در تمامی نمونه‌ها عدد ۱ بوده است. بر این اساس سرب و آرسنیک با منشأ آنتروپوژنیک در منطقه مشخص شده است که نشان از فعالیت معدنکاری در منطقه است. غنی‌شدگی آرسنیک را می‌توان به وجود کانی‌های سولفیدی از قبیل پیریت و اکسید پیریت در باطله‌های معدنی و هوازدگی سنگ‌های منطقه و همچنین مورفولوژی بهم ریخته منطقه که باعث بهم ریختگی خاک شده، نسبت داد. بقیه عناصر در منطقه غنی‌شدگی نشان نداده‌اند که حضور آنها با منشأ لیتوژنیک را توجیه می‌نماید. دبیری و همکاران (Dabiri et al., 2017)، آلودگی فلزات سنگین و تعیین منشأ آنها در خاک‌های اطراف ناحیه معدن آهن سنگان، شمال شرق ایران را بررسی نمودند. آنها با بهره‌گیری از فاکتور آلودگی (Cf) و فاکتور غنی‌شدگی (Ef) نشان

در شکل ۴ نقشه پهنه‌بندی PLI، نشان داد خاک در اطراف مناطق معدنی از آلودگی برخوردار است. در واقع این نقشه حاکی از تخریب خاک منطقه در مناطق با بار آلودگی است که شمال منطقه و قسمت‌هایی از غرب منطقه را در بر می‌گیرد (نقشه سمت چپ بار آلودگی منطقه مجاور معدن را به روش درون‌یابی وزن‌دهی معکوس فاصله نشان می‌دهد و نقشه سمت راست نقشه کلاس بندی شده منطقه مجاور معدن بر اساس کلاس خطر شاخص بار آلودگی می‌باشد). در مطالعه‌ای که توسط حسین‌زایی و همکاران (Hosseiniaee et al., 2021) انجام شد شاخص PLI محاسبه شده نشان داد که خاک اطراف معدن آلوده، و باعث کاهش کیفیت خاک شده است در هماهنگی با یافته‌های سایر محققان (Saadati, 2016; Hosseiniaee et al., 2021) در این مطالعه نمونه‌هایی که مسافت کمتری به مناطق معدنی دارند بار آلودگی بالاتر از ۱ را نشان می‌دهند در نتیجه تأثیر عوامل انسان‌زاد (معدنکاری) علاوه بر عوامل طبیعی باعث افزایش غلظت عناصر در نمونه‌های مجاور با معدن است که نشان از کاهش کیفیت خاک و در نهایت شروع پدیده بیابان‌زایی می‌باشد (Das, 2014).

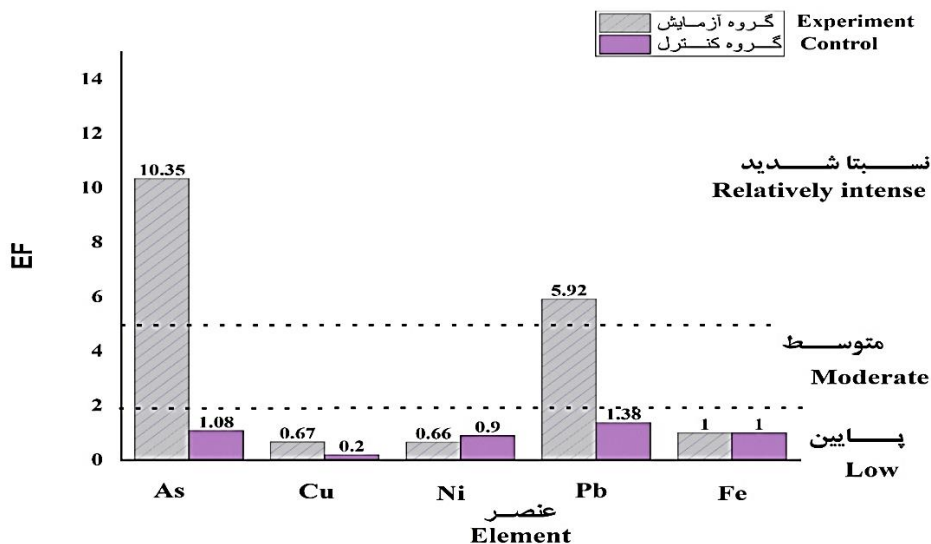
نتایج بدست آمده از ارزیابی شاخص غنی‌شدگی نیز نشان داد که هر چه مقدار فاکتور غنی‌سازی بیش‌تر باشد بیانگر آن است که سهم عامل انسانی در افزایش آلودگی فلز مورد نظر در خاک منطقه بیشتر است (Nikolaidis et al., 2010). استفاده از این شاخص عناصر نیکل و مس را با حداقل غنی‌شدگی و غنی‌شدگی اندک (کد A) را در منطقه مجاور معدن نشان داد. در مورد عنصر سرب در منطقه مجاور

می‌باشند و غلظت عناصر آهن و مس توسط منشأ انسان زاد (فعالیت های معدنی) کنترل می‌شود، این در حالی است که بنظر می‌رسد عناصر دیگر همچون سرب و روی عمدتاً منشأ زمین زاد دارند.

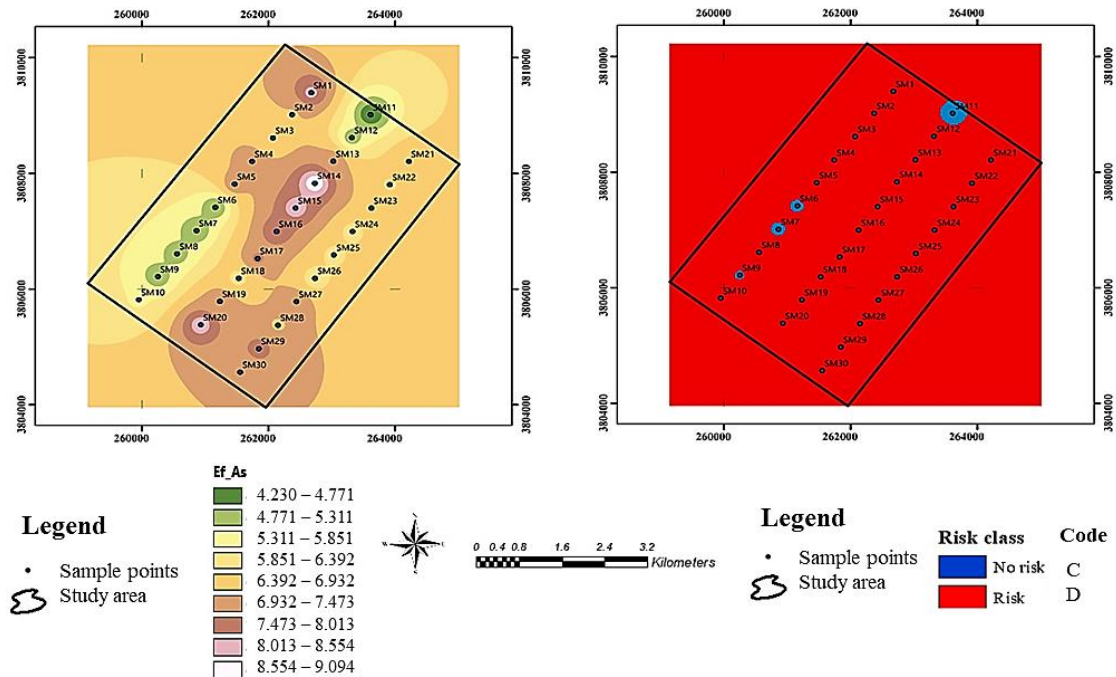
دادند که غنی‌شدگی قابل توجهی از فلزات سنگین در ناحیه معدنی رخ داده است. داده‌های به دست آمده نشان داد که خاک‌های منطقه به لحاظ عناصر آهن و مس در مقایسه با توزیع نرمال آن‌ها دارای آلودگی



شکل ۴- نقشه پهنه‌بندی بار آلودگی در مناطق مجاور معدن
Figure 4- Pollution load zoning map in the adjacent area's mine



شکل ۵- میانگین فاکتور غنی‌شدگی در مناطق مجاور (گروه آزمایش) و شاهد (گروه کنترل)
Figure 5- The average enrichment factor in the adjacent (experiment group) and witness (control group) areas



شکل ۶- نقشه پهنه بندی میانگین فاکتور غنی سازی عنصر آرسنیک در منطقه مجاور معدن

Figure 6- Zoning map of the average enrichment factor of the arsenic element in the adjacent area's mine

پدیده بیابان زایی می شود را فراهم کند (Samuel and Christiana, 2012; Das, 2014).

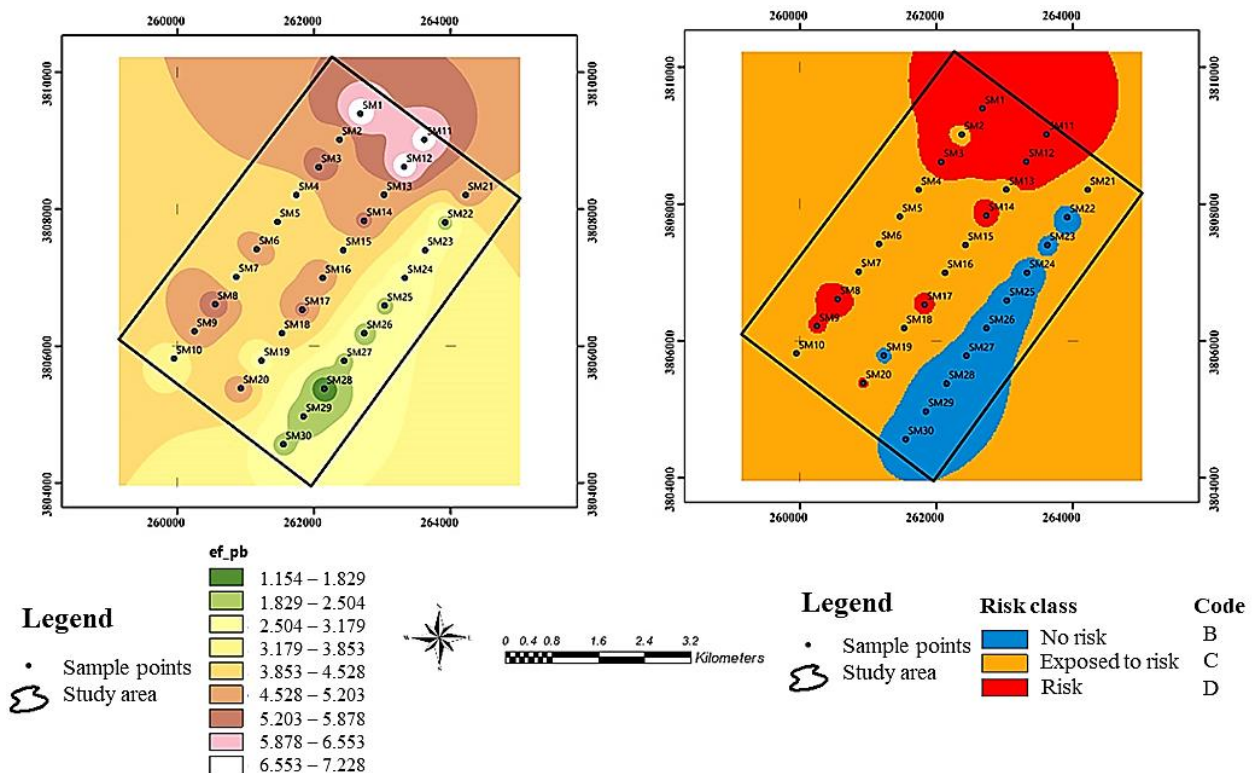
از بررسی تمامی شاخص های آلودگی استفاده شده در این تحقیق (Sutherland, 2000; Hankason, 1980)، همچنین همبستگی مثبت و بسیار قوی بین مس و نیکل می توان نتیجه گرفت که مقدار مس و نیکل در محدوده استاندارد مقدار زمینه آنها قرار دارد و حضور این دو عنصر در خاک منطقه بیشتر تحت تأثیر عوامل طبیعی و زمین زاد است.

نتیجه گیری

این مطالعه در پیوند با مسأله آلودگی های محیط زیست به عنوان یکی از شاخص ها و معیارهای تخریب خاک و توسعه بیابان زایی انجام شد. نتایج بدست آمده از آنالیز نمونه های خاک و شاخص های آلودگی در دو منطقه شاهد و مجاور معدن سنگ آهن شهرستان خواف نشان داد که وجود سایت های صنعتی و معدنی سنگ آهن (عبور ماشین آلات حمل و نقل سنگ آهن، وجود سنگ شکن، گودبرداری بی رویه ی شرکت های خصوصی از منطقه و غربال کردن خاک برای دستیابی به منافع بیشتر) در منطقه مورد مطالعه و انتشار ضایعات و باطله های آن توسط بادهای فصلی و محلی از جمله دلایل اصلی افزایش غلظت آلاینده های فلزی در خاک های این منطقه بوده است.

در شکل ۶ نقشه پهنه بندی غنی شدگی خاک برای عنصر آرسنیک در منطقه مجاور معدن نشان داده شده است. طبق نقشه پهنه بندی، غنی شدگی خاک برای عنصر آرسنیک به غیر از چندین نقطه غنی شدگی متوسط (کد C)، در کلیه منطقه غنی شدگی قابل ملاحظه (کد D) را نشان داد که بر اساس طبقه بندی ژانگ و همکاران (Zhang et al., 2007) زمانی که مقدار EF بیشتر از ۱/۵ است، خود غنی سازی را می توان به انسان زایی نسبت داد و همچنین با توجه به مواد استخراج شده از معادن و فراوانی آن در خاک های اطراف منطقه مورد مطالعه نشان از منشأ آنتروپوژنیک (فعالیت معدنی) آن دارد.

در شکل ۷ نقشه پهنه بندی غنی شدگی خاک برای عنصر سرب در منطقه مجاور نشان داده شده است طبق نقشه پهنه بندی، غنی شدگی خاک برای عنصر سرب در رده غنی شدگی اندک (کد B)، غنی شدگی متوسط (کد C) و غنی شدگی نسبتاً شدید (کد D) می باشد. شمال منطقه و قسمتی از جنوب غربی منطقه غنی شدگی نسبتاً شدید (کد D) را نشان داد. در قسمت جنوب شرقی غنی شدگی اندک (کد B) و در سایر نقاط منطقه مجاور معدن غنی شدگی متوسط (کد C) نمایان است. غنی سازی (تجمع) این عنصر با توجه به فعالیت های معدنی منطقه مورد مطالعه قابل انتظار است. استخراج منابع و فعالیت های معدنی ممکن است منجر به انتشار، جا به جایی و تجمع (غنی شدگی) فلزات اطراف معادن شود و توزیع ژئوشیمیایی فلزات سنگین را بیش از منابع سنگ زایی تغییر دهد و همچنین زمینه را برای تخریب و کاهش کیفیت خاک به مرور در آینده که در نهایت منجر به



شکل ۷- نقشه پهنه‌بندی میانگین شاخص فاکتور غنی سازی عنصر سرب در منطقه مجاور معدن

Figure 7- Zoning map of the average enrichment factor index of the lead element in the adjacent area's mine

تحلیل مکانی به درستی نشان داد. تحلیل مکانی داده‌ها و ارزیابی ریسک خطر هریک از عناصر از نقاط قوت این پژوهش نسبت به دیگر مطالعات انجام شده می‌باشد. در منطقه مجاور معدن نمونه‌هایی که مسافت نزدیکتری به مناطق معدنی دارند، دارای بار آلودگی قابل توجه بوده که نشان دهنده تخریب خاک در این مناطق است. برای حفظ سلامت و اکوسیستم منطقه و جلوگیری از آلودگی و تخریب خاک و همچنین توسعه پدیده بیابان‌زایی ناشی از آن، جلوگیری از ورود فلزات به چرخه زیستی، رفع آلودگی‌های صنعتی با اجرای برنامه‌های بلند مدت و روش‌های کم‌هزینه و سازگار با محیط‌زیست ضروری به نظر است.

با توجه به محدودیت‌های زمانی و مالی در این پژوهش و سمیت عناصر سنگین به ویژه سرب توصیه می‌شود، مطالعات بیشتری به منظور بررسی شدت تخریب خاک در اطراف مناطق معدنی، نرخ شدت فرسایش خاک مورد تجزیه و تحلیل قرار گیرد و همچنین بررسی ریزگردها در منطقه جهت تعیین آلودگی به عناصر سنگین و پتانسیل توسعه بیماری‌های زیستی و بهداشتی همچون بیماری‌های ریوی، گوارشی، چشمی و ... در مناطق اطراف معدن انجام شود.

خاک مناطق مجاور معدن، آلوده به عنصر سرب گزارش شد که با توجه به بالاتر بودن میانگین غلظت این عنصر نسبت به شیل (مقیاس جهانی، ضریب تغییرات بالا، مقادیر فاکتور آلودگی و غنی‌شدگی با منشأ آنتروپوژنیک (فعالیت‌های معدنکاری) کنترل می‌شود. با بررسی شاخص‌های آلودگی، حضور دو عنصر مس و نیکل در خاک منطقه مجاور معدن هیچگونه آلودگی را نشان ندادند که می‌توان آن را تحت تأثیر عوامل طبیعی و ساختار زمین‌شناختی منطقه دانست. مقدار فاکتور آلودگی و متوسط غلظت عنصر آرسنیک در آستانه حداکثر مقیاس جهانی قرار دارد و فاکتور غنی‌شدگی، حد قابل ملاحظه تا نسبتاً شدید را نشان داد. غنی‌شدگی آرسنیک را می‌توان به وجود کانی‌های سولفیدی از قبیل پیریت و اکسید پیریت در باطله معدنی و هوازدگی سنگ‌های منطقه و همچنین مورفولوژی بهم ریخته منطقه که باعث بهم‌ریختگی خاک شده، نسبت داد (در نتیجه فعالیت‌های معدن‌کاری). میانگین غلظت عنصر آهن در منطقه مجاور معدن به حد سمیت نرسیده اما با توجه به مقادیر به دست آمده از شاخص‌های آلودگی علاوه بر منشأ زمین‌شناسی به وضوح تحت تأثیر فعالیت صنعتی و معدنی قرار گرفته که احتمال بروز سمیت در آینده را هشدار می‌دهد. در این پژوهش استفاده از داده‌های زمینی و تحلیل آنها در محیط سیستم اطلاعات جغرافیایی، نقش کاربردی این نرم افزار را در

سپاسگزاری

لازم می‌دانیم از همکاری و حمایت تمام کسانی که به منت ما را در به سرانجام رساندن این پژوهش یاری نمودند کمال تشکر و سپاسگزاری را داشته باشیم. همچنین از همکاری و زحمات کارشناسان محترم آزمایشگاه مرکزی دانشگاه فردوسی مشهد نیز تشکر و قدردانی می‌شود.

این پژوهش ارائه نتایج بخشی از پایان نامه کارشناسی ارشد در گروه مدیریت مناطق خشک و بیابانی دانشکده منابع طبیعی و محیط زیست دانشگاه فردوسی مشهد و با کد ۵۱۳۸۹ بوده است. لذا، بر خود

منابع

1. Adomako, D., Nyarko, B.J.B., Dampare, S.B., Serfor Armah, Y., Osa, S., Fianko, J.R., & Akaho, E.H. (2008). Determination of toxic elements in waters and sediments from River Subin in the Ashanti Region of Ghana". *Environmental Monitoring Assessment* 141: 165-175.
2. Aggarwal, C.C. (2017). *An Introduction to Outlier Analysis. In: Outlier Analysis*. Springer, Cham. https://doi.org/10.1007/978-3-319-47578-3_1.
3. Akbari, M., Ownegh, M., Asgari, H., Sadoddin, A., & Khosravi, H. (2016). Soil erosion risk assessment using the CORINE model (Case study: Semiarid region in Golestan Province). *Desert Ecosystem Engineering Journal* 12(5): 63-78. (In Persian with English abstract)
4. Akbari, M., Jafari Shalamzari, M., Memarian, H., & Gholami, A. (2020a). Monitoring desertification processes using ecological indicators and providing management programs in arid regions of Iran. *Ecological Indicator* 111: 106011. <https://doi.org/10.1016/j.ecolind.2019.106011>.
5. Akbari, M., Feyzi Koushki, F., Memarian, H., Azamirad, M., & Noughani, M. (2020b). Prioritizing effective indicators of desertification hazard using factor-cluster analysis, in arid regions of Iran. *Arabian Journal of Geosciences* 13(8): 1-17. <https://doi.org/10.1007/s12517-020-05296-9>.
6. Aluko, T.S., Njoku, K.L., Adesuyi, A.A., & Akinola, M.O. (2018). Health risk assessment of heavy metals in soil from the iron mines of Itakpe and Agbaja, Kogi State, Nigeria. *Pollution* 4(3): 527-538. <https://doi.org/10.22059/poll.2018.243543.330>.
7. Chen, F.W., & Liu, C.W. (2012). Estimation of the spatial rainfall distribution using inverse distance weighting (IDW) in the middle of Taiwan. *Paddy Water Environment* 10: 209-222 <https://doi.org/10.1007/s10333-012-0319->.
8. Cochechi, R.M., Iano, I., Sârbu, C.N., Sorensen, A., Saghin, I., & Secăreanu, G. (2019). Assessing environmental fragility in a mining area for specific spatial planning purposes. *Moravian Geographical Reports* 27(3): 169-182. <https://doi.org/10.2478/mgr-2019-0013>.
9. Dabiri, R., Bakhshi Mazdeh, M., & Mollai, H. (2017). Heavy metal pollution and identification of their sources in soil over Sangan iron-mining region, NE Iran. *Journal of Mining & Environment* 8(2): 277-289. <https://doi.org/10.22044/jme.2016.820>.
10. Damian, G., Lanzerstorfer, C., Damian, F., & Lepure, G. (2018). Distribution of Heavy Metals and Minerals in the Various Size Fractions of Soil from Copşa Mică România. *Water, Air & Soil Pollution* 229: 202. <https://doi.org/10.1007/s11270-018-3862-6>.
11. Darwish, T., Khater, C., Jomaa, I., Stehouwer, R., Shaban, A., & Hamze, M. (2011). Environmental impact of quarries on natural resources in Lebanon. *Land Degradation & Development* 22: 345-358. <https://doi.org/10.1002/ldr.1011>.
12. Das, B. (2014). Environmental impact due to iron ore mining in Chhattisgarh. *Recent Research in Science and Technology* 6(1): 27-29.
13. Dashti Amirabad, J., Akhvan ghalibaf, M., & khodaparast, R. (2012). *The effect of sulphide tailings (pyrite) in desertification around mines and its role in soil contamination with heavy elements*. The first national desert conference science, technology and sustainable development. Tehran. (In Persian with English abstract)
14. FAO/UNEP. (2001). *Land Degradation Assessment in Dry land (LAND)*, United Nations Environment Program, Global Environment Facility (GEF). p.67
15. Feyzi Koushki, F., Akbari, M., Memarian, H., & Azamirad, M. (2019). Identifying and Ranking Important Factors of Desertification in Khorasan Razavi Province using Delphi Method, *Geography and Environmental Hazards* 8(31): 205-225. <https://doi.org/10.22067/geo.v0i0.84127>.
16. Garavand, M., Ghasemi, H., & Hafezi Moghddas, N. (2012). Geochemical and Environmental Assessment of the Heavy Metals in the Soils Derived from the Gorgan Schists. *Scientific Quarterly Journal, GEOSCIENCES* 8(22): 35-46.
17. Golmohammadi, A., Karimpour, M H., Haidarian Sahahri, M.R., Mazaheri, S.A., & Rahimi, B. (2017). Interpretation of the magnetic anomalies of the western mines of Sangan Ironstone using geology and borehole data. *Iranian Journal of Geophysics* 11(2): 87-109.

18. Golmohammadi, A., Karimpour, M.H., Malekzadeh Shafaroudi, A., & Mazaheri, S.A. (2015). Alteration mineralization, and radiometric ages of the source pluton at the Sangam iron skarn deposit, northeastern Iran. *Ore Geology Reviews* 65(2): 545–563. <https://doi.org/10.1016/j.oregeorev.2014.07.005>.
19. Haghparast, M., & Torshizian, H. (2019). Assessment of heavy metals concentrations and pollution in sediments of Almejogh Ophiolite Region (North-East of Iran). *Journal of Environmental Science and Technology* 21(4). (In Persian with English abstract)
20. Hakanson, L. (1980). An ecological risk index for aquatic pollution control. a sedimentological approach, *Water Research* 14(8): 975-1001. [https://doi.org/10.1016/0043-1354\(80\)90143-8](https://doi.org/10.1016/0043-1354(80)90143-8).
21. Hosseinniaee, S., Jafary, M., Tavili, A., & Zar, S. (2021). Geochemical and ecological assessment of some heavy metals in the soil around the lead and zinc mine in northwestern of Iran. Iran. *Journal of Health and Environment* 14(1): 159-172. (In Persian with English abstract)
22. Hubert, H., Akimpaya, B., & Bazimenyeya, J. (2019). Evulation of soil contamination in mining area of RWANDA. *American Journal of Water Science and Engineering* 5(1): 9-15. <https://doi.org/10.11648/j.ajwse.20190501.12>.
23. Jorfi, S., Maleki, R., Jaafarzadeh, N., & Ahmadi, M. (2017). Pollution load index for heavy metals in Mian-Ab plain soil, Khuzestan, Iran. *Data in Brief* 15: 584–590. <https://doi.org/10.1016/j.dib.2017.10.017>.
24. Khashtabeh, R., Akbari, M., Heydari, A., & Najafpoor, A. (2021). *Investigation of changes in heavy metal concentrations and ecological indicators of soil pollution in the areas around Sangam Khaf mine and its effect on human health risk and increase soil degradation*. M.Sc Thesis. Faculty of Natural Resources and Environment. Ferdowsi University of Mashhad. (In Persian with English abstract)
25. Khashtabeh, R., Akbari, M., Kolahi, A., & Talebanfard, A. (2020). Assessing the effects of desertification control projects using socio-economic indicators in the arid regions of eastern Iran. *Environment, Development and Sustainability* 23: 10455–10469. <https://doi.org/10.1007/s10668-020-0106-6>.
26. Kowalska, J.B., Mazurek, R., Gąsiorek, M., & Zaleski, T. (2018). Pollution indices as useful tools for the comprehensive evaluation of the degree of soil contamination—A review. *Environmental Geochemistry and Health* 40: 2395–2420. <https://doi.org/10.1007/s10653-018-0106-z>.
27. Mazhari, N. (2016). *Geology, mineralization, geochemistry, geochronology and isotope studies in eastern anomalies of Sangam mine, Khaf, Khorasan Razavi province*. Ph.D. Dissertation. Ferdowsi University of Mashhad Faculty of Sciences. 20-23
28. Mbaya, R.P. (2013). Land Degradation Due to mining: The gunda scenario. *International Journal of Geography and Geology* 2(12): 144-158. <https://doi.org/10.18488/journal.10/2013.2.12/10.12.144.158>.
29. Nikolaidis, C., Zafariadis, I., Mathiodakis, V., & Constantinidis, T. (2010). Heavy metal pollution associated with an abandoned Lead- Zinc Mine in the Kirki region, NE Greece. *Bulletin of Environmental Contamination Toxicology* 85: 307-312. <https://doi.org/10.1007/s00128-010-0079-9>.
30. Rajeshkumar, S., Liu, Y., Zhang, X., Ravikumar, B., Bai, G., & Li, X. (2018). Studies on seasonal pollution of heavy metals in water, sediment, fish and oyster from the Meiliang Bay of Taihu Lake in China. *Chemosphere* 191: 626-638. <https://doi.org/10.1016/j.chemosphere.2017.10.078>.
31. Rakesh Sharma, M.S., & Raju, N.S. (2013). Correlation of Heavy Metal contamination with Soil properties of Industrial areas of Mysore, Karnataka, India by Cluster analysis. *International Research Journal of Environment Sciences* 2(10): 22-27.
32. Rastmanesh, F., Moore, F., Kharratikopaei, M., Keshavarzi, B., & Behrouz, M. (2010). Heavy metal enrichment of soil in Sarcheshmeh copper complex, Kerman, Iran. *Environmental Earth Sciences* 62(2): 329-336.
33. Ravankhah, N., Mirzaei, R., & Masoum, S. (2015). Evaluation of Geoaccumulation Index, Contamination Factor, and Principal Component Analysis for Estimating Soil contamination. *Iranian Journal of Health & Environment* 8(3). (In Persian with English abstract)
34. Rezaei-pour Baghdar, A., Vagarfard, H., Azimzadeh, H.R., Gholami, H., & Esmaeilpour, Y. (2015). Study of Pollution of Waste Water Caused by Iron Ore Processing in Desert Areas (Case Study: Bafgh Area). *Iranian Scientific Association of Desert Management and Control* 4: 14-25. (In Persian with English abstract)
35. Saadati, E. (2016). *Investigating the environmental effects of the extraction of placer iron ore mines in Sangam Khaf region on water and soil resources*. Master's thesis. Department of Geology - Environmental Geology. International Campus of Ferdowsi University of Mashhad.
36. Sahu, H B., & Dash, S. (2011). *Land Degradation due to Mining in India and its Mitigation Measures*. Second International Conference on Environmental Science and Technology, February 26-28, 2011, Singapore.
37. Salman, T. (2019). *Mapping the Distribution of Heavy Metals in Soils and Plants in Alluvial Plain of the Tigris River, Southern Baghdad*. Master's thesis. Ferdowsi University of Mashhad, Faculty of Basic Sciences, Department of Geology, 5:7.
38. Samuel, K., & Christiana, M.A.O. (2012). Heavy metal pollution around Itakpe mine, Kogi State, Nigeria. *International Journal of Physical Sciences* 7: 5062-5068.
39. Sanjari, M. (2017). *Determination of Heavy Elements and Environmental Pollution in the Area of Dardvey Iron*

- Mine*. Master's thesis. Ferdowsi University of Mashhad, Faculty of Basic Sciences, Department of Geology. 64-65.
40. Shamsadin, H., Jalali, V., & Jafari, A. (2015). Application of multivariate statistical methods and environmental pollution indices in evaluation of distribution of heavy metals. *Journal of Water and Soil Resources Protection* 4(3). (In Persian with English abstract)
 41. Shamsaddin, H., Jafari, A., Jalali, V., & Schulin, R. (2020). Spatial distribution of copper and other elements in the soils around the Sarcheshmeh copper smelter in southeastern Iran. *Atmospheric Pollution Research* 11(10): 1681-1691. <https://doi.org/10.1016/j.apr.2020.07.002>.
 42. Sistani, N., Moeinaddini, M., Khorasani, N., Hamidian, A.H., Taleshi, M.S., & Azimi Yancheshmeh, R. (2017). Heavy metal pollution in soils adjacent to Kerman steel industry: evaluation of metal richness and degree of pollution. *Iranian Journal of Health and Environment* 10(1): 75-86. (In Persian with English abstract)
 43. Sutherland, R.A. (2000). Bed sediment-associated trace metals in an urban stream, Oahu, Hawaii. *Environmental Geology* 39(6): 611-627. <https://doi.org/10.1007/s002540050473>.
 44. Taylor, S.R. (1964). Abundance of chemical elements in the continental crust: a new table. *Geochimica et Cosmochimica Acta* 28(8): 1273-1285. [https://doi.org/10.1016/0016-7037\(64\)90129-2](https://doi.org/10.1016/0016-7037(64)90129-2).
 45. Taylor, S.R., & McLennan, S.M. (1995). The geochemical evolution of the continental crust. *Advancing Earth and Space Science* 33(2): 241-265. <https://doi.org/10.1029/95RG00262>.
 46. Tepanosyan, G., Sahakyan, L., Belyaeva, O., & Asmaryan, S.H. (2018). Continuous impact of mining activities on soil heavy metals levels and human health. *Science of The Total Environment* 639: 900-909. <https://doi.org/10.1016/j.scitotenv.2018.05.211>.
 47. Teplická, K., Khouri, S., Beer, M., & Rybárová, J. (2021). Evaluation of the Performance of Mining Processes after the Strategic Innovation for Sustainable Development. *Processes* 9: 1374. <https://doi.org/0.3390/pr9081374>.
 48. Thomilson, D.C., Wilson, D.J., Harris, C.R., & Jeffrey, D.W. (1980). Problems in the assessment of heavy-metal levels in estuaries and the formation of a pollution index. *Helgolander Meeresunters* 33: 566-575. <https://doi.org/10.1007/BF02414780>.
 49. Turekian, K.K., & Wedepohl, K.H. (1961). Distribution of elements in some major units of the earth crust. *The Geological Society of America* 72(2): 175-192. [https://doi.org/10.1130/0016-7606\(1961\)72\[175](https://doi.org/10.1130/0016-7606(1961)72[175).
 50. Wang, L., & Wu, J. (2008). Spatial variability of heavy metals in soils across a valley plain in Southeastern China. *Environmental Geology* 55(6): 1207-1217.
 51. Wiel, H.J. (2003). *Determination of elements by ICP-AES and ICP-MS" (RIVM) Bilthoven*, The Netherlands. National Institute of Public Health and the Environment (RIVM) 4-46.
 52. Xiao, Y., Gu, X., & Yin, S. (2016). Geostatistical interpolation model selection based on ArcGIS and spatio-temporal variability analysis of groundwater level in piedmont plains, Northwest China. *SpringerPlus* 5(425). <https://doi.org/10.1186/s40064-016-2073-0>.
 53. Xiaoa, R., Wangc, S.H., Lia, R., Wangb, J.J., & Zhanga, Z. (2017). Soil heavy metal contamination and health risks associated with artisanal gold mining in Tongguan, Shaanxi, China. *Ecotoxicology and Environmental Safety* 141: 17-24. <https://doi.org/10.1016/j.ecoenv.2017.03.002>.
 54. Yang, P., Mao, R., Shao, H., & Gao, Y. (2009). An investigation on the distribution of eight hazardous heavy metals in the suburban farmland of China. *Journal of Hazardous Materials* 167(1): 1246-1251. <https://doi.org/10.1016/j.jhazmat.2009.01.127>.
 55. Yongming, H., Peixuan, D., Junji, C., & Posmentier, E.S. (2006). Multivariate analysis of heavy metal contamination in urban dusts of Xi'an, Central China. *Science of the Total Environment* 355(1-3): 176-186. <https://doi.org/10.1016/j.scitotenv.2005.02.026>.
 56. Zanganeh, F., Heidari, A., Sepehr, A., & Rohani, A. (2022). Bioaugmentation and bioaugmentation-assisted phytoremediation of heavy metal contaminated soil by a synergistic effect of cyanobacteria inoculation, biochar, and purslane (*Portulaca oleracea* L.). *Environmental Science and Pollution Research* 29: 6040-6059. <https://doi.org/10.1007/s11356-021-16061-0>.
 57. Zhang, X.Y., Feng, Y., Jing, T., Ouyang, X.Y., Liang, C., & Weiqi, C. (2007). Heavy metal contamination in western Xiamen Bay sediments and its vicinity, China Luoping. *Marine Pollution Bulletin* 54(7): 974-982.